Зарыя-Амрыйым, армагруплайы X, № 4, 1957 Физико-математические науки

ФИЗИКА

Н. А. Корхмазян

Решение задачи о переходном излучении методом изображений

В работе В. Гинзбурга и И. Франка [1] проведен расчет интенсивности переходного излучения для случаев двух сред, характеризующихся некоторыми (вообще говоря комплексными) значениями дивлектрических констант », и »2.

В настоящей работе дано решение той же задачи значительно более простым и наглядным методом. При этом использовались метод взображений и теория излучения при столкновениях заряженных быстрых частиц.

Следует отметить, что в работе [1], тем-же самым методом изображений, получется формула для полной интенсивности в нередятявистском случае (формула (1) работы [1]). Однако указанные авторы решают задачу в общем виде другим методом.

Рассмотрим быструю частицу с зарядом е, движущуюся, с постоянной скоростью, из вакуума в идеальный проводник перпендикулярно плоской границе раздела этих двух сред, заполняющих бесковечное полупространство. Эта частица будет индуцировать на поверхности идеального проводника заряды, поле которых в вакууме, согласно методу изображений, идентично полю частицы с зарядом—е, движущейся навстречу первоначальной частице с той же скоростью; при этом идеальный проводник заменяется вакуумом. Перемещение изображения есть следствие фактического перераспределения индуцированных на поверхности идеального проводника зарядов. Излучение при переходе частицы с зарядом е из вакуума в металл может быть рассчитано как излучение при столкновении этой частицы и ее изображения.

Поскольку при переходном излучении существенно излучение с частотой порядка меньше 10^{10} герц, а время столкновения т порядка $\frac{a}{e}$, где a — порядок размеров атомов, то имеет место условие $\omega \tau \ll 1$. Это позволяет в дальнейшем использовать теорию излучения при столкновении заряженных частиц в форме, изложенной в [2].

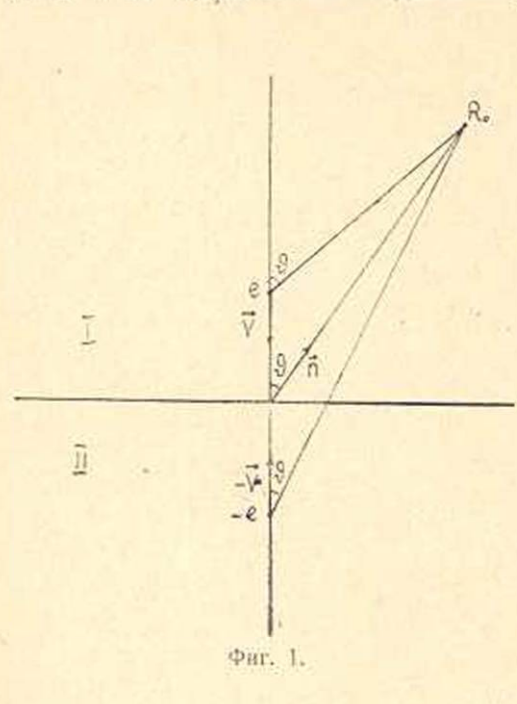
Рассмотрим поле излучения в некоторой точке первой среды с координатой R_0^{\bullet} (фиг. 1). Фурье-компонента магнитного поля в этой точке определится согласно формуле (68.8) [2] так:

$$\vec{H}_{w} = \frac{1}{2\pi c} \left[\left(\vec{A}_{2} - \vec{A}_{1} \right) \vec{n} \right], \tag{1}$$

где \overrightarrow{A}_1 — вектор-потенциял в точке наблюдения R_0 до столкновения частиц, а \overrightarrow{A}_2 — вектор-потенциал поля в той же точке после столкно-

вення,
$$\vec{n} = \frac{\vec{R}_0}{R_0}$$
.

Величины \vec{A}_1 и \vec{A}_2 определяются как потенцилы Льенарь-Вихерта, созданные движущимися заряженной частицей и ее изображением. Потенциал, созданный частицей с зарядом e, движущейся со скоростью \vec{V} по направлению к идеальному проводнику, будет равен



$$\overrightarrow{A}_{1}^{(l)} = \frac{e\overrightarrow{V}}{cR_{0}\left(1 - \frac{\overrightarrow{n}\overrightarrow{V}}{c}\right)};$$

потенциал же, созданный изображением, определится как

$$\vec{A}_{1}^{(2)} = \frac{e\vec{V}}{eR_{0}\left(1 + \frac{\vec{n}\cdot\vec{V}}{c}\right)}$$

Следовательно, потенциал \vec{A}_1 до столкновения есть:

$$\vec{A}_1 = \vec{A}_1^{(1)} + \vec{A}_1^{(2)} = \frac{e\vec{V}}{cR_0} \left(\frac{1}{1 - \frac{V\cos\vartheta}{c}} + \frac{1}{1 + \frac{V\cos\vartheta}{c}} \right). \tag{2}$$

Потенциал \overrightarrow{A}_2 после столкновения частицы и ее изображения равен всюду нулю, в силу "аннигиляции" этих двух частиц. Физически это означает, что после перехода частицы в идеальный проводник, ее заряд полностью экранируется. Подставляя значения потенциалов \overrightarrow{A}_1 и \overrightarrow{A}_2 в (1), а потом (1) в формулу для излучения пристолкновении (66.9) [2]

^{*} Начало отсчета координат помещено в точке столкновения частиц.

$$W_w(\emptyset) = \frac{dE_{n,w}^{**}}{d\Omega d\omega} = c |\overrightarrow{H}_w|^{\frac{\alpha}{2}} \cdot R_0^2,$$

получаем окончательную формулу:

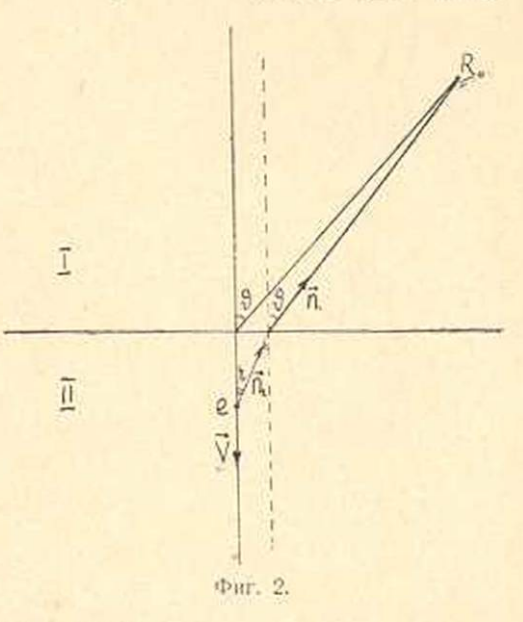
$$W_{ii}(\theta) = \frac{e^2 V^2}{\pi^2 c^3} \frac{\sin^2 \theta}{(1 - \theta^2 \cos^2 \theta)^2}; \quad \beta = \frac{V}{c}.$$
 (3)

Таково решение поставленной задачи в наиболее простом случае перехода заряженной частицы из вакуума в идеальный проводник. Этот случай наиболее ясно, иллюстрирует суть излагаемого метода и позволяет провести обобщение на случай перехода частицы из одной произвольной среды в некоторую другую.

Итак, рассмотрим теперь две среды, разделенные плоской поверхностью, заполняющие бесконечное полупространство и характеризующиеся диэлектрическими постоянными ε_1 и ε_2 , которые могут быть, вообще говоря, комплексными. Частица с зарядом ε пусть, как и ранее, движется с постоянной скоростью \vec{V} в направлении, перпендикулярном плоскости раздела. Поле в точке R_0 первой среды, до того как частица достигла границы раздела, складывается из поля, созданного непосредственно самим зарядом и, кроме того, поля отраженного от границы раздела двух рассматриваемых сред. Последнюю часть поля

ножно представить как образованную неким "зеркальным" изображением нашей частицы, находящимся во второй среде,

движущимся скоростью — \vec{V} побладающим зарядом—ef, где f есть коэффициент отражения Френеля для воли, отраженных в вервую среду. Заметим, что коэффициент f зависит от частоты падающей волны, и тем самым величина заряда изображения также будет различна для разных частот; кроме того отметим, что, вводя в рассмотрение изображение, нужно, как всегда, заменить вещество второй среды веществом первой.



Таким образом, в полной аналогии с разобранным ранее случаем вакуум — идеальный проводник, потенциал \overrightarrow{A}_1 до столкновения частицы с ее изображением определится по формуле:

$$\vec{A}_{1} = \frac{e\vec{V}}{cR_{0}\left(1 - V\bar{\epsilon}_{1} - \frac{\vec{n}_{1}\vec{V}}{c}\right)} + \frac{e\vec{V}f}{cR_{0}\left(1 + V\bar{\epsilon}_{1} - \frac{\vec{n}_{1}\vec{V}}{c}\right)}.$$
(4)

После столкновения, т. е. после проникновения нашей частицы во вторую среду, "анигилация", т. е. подная экранировка, в общем случае не имеет места.

Поле в первой среде, созданной частично заэкранированным зарядом, движущимся теперь во второй среде от границы раздела, получается в результате преломления поля частицы с зарядом e на границе двух сред. Поэтому мы можем записать \hat{A}_{z} в форме:

$$\overrightarrow{A}_{2} = \frac{e\overrightarrow{V}}{cR_{0}\left(1 - V\overline{\epsilon_{2}} \frac{\overrightarrow{n}_{2}\overrightarrow{V}}{c}\right)} \cdot \frac{V\overline{\epsilon_{1}}}{V\overline{\epsilon_{2}}} (1 + f). \tag{5}$$

Фактор $\frac{1}{V}\frac{\varepsilon_1}{\varepsilon_2}\cdot (1+f)$ есть коэффициент преломления Френеля для

амплитуды. Смысл единичных векторов n_1 и n_2 , фигурирующих в формулах (4) и (5), ясен из фиг. 2. Обобщая формулу (1), запишем Фурье-компоненту магнитного поля в точке R_0 первой среды в виде

$$\vec{H}_{a} = \frac{1}{2\pi c} ||\vec{A}_{1}\vec{n}_{2}| - |\vec{A}_{1}\vec{n}_{1}||,$$
 (6)

и формулу излучения

$$W_{-}(0) = \sqrt{\varepsilon_1 \cdot c \cdot |\vec{H}_{-}|^2 \cdot R_0^2}$$

можем написать:

шений имеем:

$$W_{\scriptscriptstyle 0}\left(\boldsymbol{\vartheta}\right) = \frac{\sqrt{|z_1|}}{4\pi^2\mathcal{C}} \left| \left(A_2 \cdot \sin r - A_1 \mathrm{sin}\boldsymbol{\vartheta}\right) \right|^2 \cdot R_0^2 \,.$$

Из фиг. 2 имеем для закона преломления $\sin r = \sin \vartheta \cdot \frac{V \varepsilon_1}{V \varepsilon_2}$; поэтому, используя (4) и (5), получим

$$W_{w}(b) = \frac{e^{2}V \overline{z_{1}} \cdot \sin^{2}b}{4\pi^{2}c^{2}} \left[\left\{ \frac{V}{1 - V \overline{z_{2}} \cdot \overrightarrow{n_{2}} \overrightarrow{V}} \cdot \frac{z_{1}}{c} \cdot (1 + f) - \frac{V}{1 - V \overline{z_{1}}} \cdot \overrightarrow{n_{1}} \overrightarrow{V} - \frac{Vf}{1 + V \overline{z_{1}}} \cdot \overrightarrow{n_{1}} \overrightarrow{V} \right]^{2}.$$

$$(7)$$

Эта формула и дает решение задачи в общем случае. Можно несколько преобразовать выражение (7); имеем для волнового вектора $k_{1,\,2}=\frac{w}{c}\,\,V^{\,}\epsilon_{1,\,2}\,\,$ и, кроме того, из фиг. 2 $\overrightarrow{n_1}\,\overrightarrow{V}=-V\cos\vartheta$ и $\overrightarrow{n_2}\,\overrightarrow{V}=-V\cos\vartheta$ и $\overrightarrow{n_2}\,\overrightarrow{V}=-V\cos\vartheta$, где $\cos r$, где $\cos r=V^{\,}$ $1-\frac{\varepsilon_1}{\varepsilon_2}\cdot\sin^2\vartheta$; с учетом приведенных соотно-

$$\begin{split} W_{\omega}(\vartheta) &= \frac{e^2 V_{z_1} \cdot \omega^2 \cdot \sin^2 \vartheta}{4\pi^2 \cdot c^3} \left| \left(\frac{2k_1 \cos \vartheta}{\omega^2 - k_1^2 \cos^2 \vartheta} + \right. \right. \\ &+ \left. \left(1 + f \right) \left(\frac{k_1^2}{k_2^2} \cdot \frac{1}{\frac{\omega}{V} + V \overline{k_2^2 - k_1^2 \sin^2 \vartheta^4}} - \frac{1}{\frac{\omega}{V} - k_1 \cos \vartheta} \right) \right) \right|^2 . \end{split} \tag{8}$$

Негрудно видеть, что при $\varepsilon_1 = \varepsilon_2$, $W_{\omega}(\vartheta)$ обращается в нуль в соответствии с физикой вопроса — переходное излучение должно отсутствовать в этом случае. Огметим здесь, что знаменатели вида $\left(1-\sqrt{\frac{n}{\varepsilon}\cdot\frac{n'}{C}}\right)$ нигде в нуль обратиться не могут, что соответствует

Неренковскому излучению. Заметим, что аналогичная формула в работе [1] отличается от приведенной формулы (8) знаком в знаменателе второго члена в фигурных скобках. Как указали сами авторы в ответном письме это различие следует отнести за счет ошибки работы [1], исходящей из ср. 20, 5 строка сверху, где напечатано! $K_1R_0+\frac{z}{c}\sqrt{K_2^2-K_1^2\sin^2\theta}$ вместо: K_1R_0-

$$-\frac{z}{c}\sqrt{K_2^2-K_1^2\sin^2\theta}$$
.

В заключение автор выражает благодарность Г. М. Гарибяну и А. Ц. Аматуни за сделанные ими указания и внимание к работе.

Ереванский государственый университет им. В. М. Молотова

Поступило 10 I 1957

. U. Ղորիաքագլան

ԱՆՑՈՒՄԱՅԻՆ ՃԱՌԱԳԱՅԵՄԱՆ ԽՆԴՐԻ ԼՈՒԾՈՒՄԸ ԱՐՏԱՊԱՏԿԵՐՄԱՆ ՄԵԹՈԴՈՎ

UUTOAAAAFU

Հորվածում արված է հասատատն արադությամբ ջարժվող լիցջավորված մասնիկի մի միջավալրից մյուսը անցնելու ժամանակ առաջացած ճառադալիման իների լուծումը արտապատկերման մեխոդով։ Ստացված է բանաձև անցումալին ճառադալիման հոսքի համար տվյալ ուղղությամբ և ավյալ հաճակությամբ։

ենեն է լիցքը շարժվում է հրկու միջավայրերի հարք սահմանին ուղղահայաց որոշ արագունվամբ, անցնելով, օրինակ, առաջին միջավայրից հրկրարգը, ապա առաջին միջավայրում էլեկարոմագնիսական դաշաի հաշվման տեսակետից կարելի է ընդունել, որ բացի նշված լիցքից դոլություն ունի հան իրա «հայելային պատկերը»— էք լիցքով և ճիշա հակառակ արագախլամբ։ Ալստեղ ք-ը առաջին միջավալրում անդրադարձած ճառագալիների Ֆրենսիի անդրադարձման դործակիցն է։ Քանի որ ք-ը կախված է անդրադարձող ճառադալին հաճախականութվունից, ապա պատկերի լիցջը տարբեր ճաճախականութվունների համար տարբեր է։ Ալսպիսի պատկերացումը հնարավորութվուն է տալիս, հաշվել անցումային ճառագալինումը, օդապործելով լիցջավորված մասնիկների բաշիման ժամանակ առաջացած ճառագալիմանը վերաբերվող տեսութվունը։ Պետջ է նշել, որ [1] աշխատանջի հեղինակները, այս մեխոդից օդավել են լիցջի շարժման ոչ ռելյատիվիստիկ արադութվունընթի դեպչում նրանջ դնացել են այլ ճանապարհով։

Բերդած մեթիոդը ամենակարճը և ակնհայան է այդ խնդրի լուժման

գոլություն ունեցող մեթյողներից։

ЛИТЕРАТУРА

1. Гинзбург В. и Франк И. ЖЭТФ, 16, 715 (1946).

2. Ландау Л. н Лифшиц Е. Теория поля, изд. 2, § 68. (1948).